

УДК 541.44:546.623:546.828

## КРИСТАЛЛИЧЕСКИЕ И МОЛЕКУЛЯРНЫЕ СТРУКТУРЫ АДДУКТОВ $(\text{Cp}_2\text{YCl})_2\text{L}$ ( $\text{L} = \text{ТГФ, ДМЭ, 1,4-диоксан}$ )

А.И. Сизов, Т.М. Звукова, З.А. Старикова, Б.М. Булычев

(кафедра химической технологии и новых материалов; e-mail:  
b.bulychev@highp.chem.msu.ru)

**Синтезированы и изучены методом РСТА аддукты  $[\text{Cp}_2\text{Y}(\mu\text{-Cl})_2]_2\text{·TGF}$  (5),  $\{[\text{Cp}_2\text{Y}(\mu\text{-Cl})_2]\text{·1,4-диоксан}\}_n$  (6) и  $\text{Cp}_2\text{Y}(\text{ДМЭ})(\mu\text{-Cl})(\text{Cl})\text{YCp}_2$  (7). В аддукте 5 фрагмент  $(\text{Cp}_2\text{YCl})_2$  координирует две молекулы ТГФ ( $d_{\text{Y-O}} = 2,478 \text{ \AA}$ ), а в 6 димеры  $(\text{Cp}_2\text{YCl})_2$  связаны 1,4-диоксаном в полимерную цепь ( $d_{\text{Y-O}} = 2,601 \text{ \AA}$ ). В аддукте 7, построенном асимметрично, молекула ДМЭ связана обоими атомами О с одним атомом Y ( $d_{\text{Y-O}} = 2,382; 2,448 \text{ \AA}$ ), один атом Cl является мостиковым, а второй атом Cl находится в концевом положении.**

Металлоценовые производные РЗЭ и Y проявляют свойства кислот Льюиса и легко дают аддукты с содержащими атом кислорода донорными лигандами. Строение этих аддуктов во многом определяется стерическими свойствами металлоценового фрагмента, но также зависит и от типа О-лиганда (L) [1]. Например, димерный хлорид Y с объемными  $\text{C}_5\text{Me}_5$ -группами  $(\text{C}_5\text{Me}_5)_2\text{Y}(\mu\text{-Cl})\text{YCl}(\text{C}_5\text{Me}_5)_2$  (1) при действии L диссоциирует на моноядерные аддукты  $(\text{C}_5\text{Me}_5)_2\text{YCl}\text{-L}_n$ , где число n варьируется в зависимости от строения L [1]. В отличие от 1, комплексы с незамещенными  $\text{C}_5\text{H}_5$ -группами не диссоциируют при действии таких L, как ТГФ, а образуют димерные аддукты, например,  $[(\text{Cp}_2\text{Ln}(\mu\text{-Cl}))_2\text{-L}_2]$  ( $\text{Cp} = \text{C}_5\text{H}_5$ ; Ln = Nd (2) [2], Er (3) [3]).

Полагая, что изменение типа L может существенно влиять на связывание в комплексах с незамещенными Cp-группами, мы синтезировали и изучили аддукты димера  $[(\text{Cp}_2\text{Y}(\mu\text{-Cl}))_2]$  (4) с различными L. Здесь мы приводим данные о трех таких аддуктах:

$(\text{Cp}_2\text{YCl})_2\text{-}(\text{C}_4\text{H}_8\text{O})_2$  (5),  $[(\text{Cp}_2\text{YCl})_2\text{-C}_4\text{H}_8\text{O}_2]_n$  (6) и  $\text{Cp}_2\text{Y}(\text{C}_4\text{H}_{10}\text{O}_2)(\mu\text{-Cl})(\text{Cl})\text{YCp}_2$  (7), полученных из 4 действием ТГФ, 1,4 – диоксана и 1,2-диметоксиэтана (ДМЭ) соответственно.

### Обсуждение результатов

Известно, что в димерном комплексе 4 [4] каждый атом Y ( $d^0$ -состояние) имеет вакантную орбиталь и способен координировать еще один лиганд [5]. В соответствии с этим, реакция 4 с ТГФ приводит к аддукту 5 (рис. 1), в котором связь  $\text{Y}(\mu\text{-Cl})_2\text{Y}$  сохраняется, а атомы Y связывают по молекуле ТГФ и, таким образом, формально достигают координационного насыщения с координационным числом (к.ч.), равным 9. Структура аддукта 5 повторяет структуры аддуктов 2 и 3, причем многие структурные параметры (например, Cl-Er-Cl 72,2°; Er-Cl 2,666; 2,797 Å; Er-O 2,490 Å; Er-Er 4,42 Å [3]) весьма близки параметрам 5.

В аддукте 6, полученном при реакции 4 с 1,4-диоксаном, наблюдается в целом тот же тип связывания, что и в 5. Каждый атом Y в 6, помимо Cp-лигандов, координирует два атома Cl и атом O, лежащие в биссекторной плоскости фрагмента  $\text{Cp}_2\text{Y}$  (рис. 2). Димеры  $(\text{Cp}_2\text{YCl})_2$  в 6 связаны в цепь молекулами 1,4-диоксана, которые, находясь в конформации “кресло”, выступают в качестве бидентатного нехелатирующего лиганда. Сравнение структур 5 и 6 показывает, что расстояние  $d(\text{Y}^\cdot\text{Y})$  для 5 (4,418 Å) на 0,04 Å больше, чем для 6 (4,376 Å) (в комплексе 4  $d(\text{Y}^\cdot\text{Y}) = 4,069 \text{ \AA}$  [4]). Напротив,  $d(\text{Y}-\text{O})$  в 5 (2,478 Å) на 0,12 Å меньше, чем в 6 (2,601 Å). Это указывает на большую прочность связи Y-TГФ и соответствует более высоким в сравнении с 1,4-диоксаном донорным свойствам ТГФ [1].

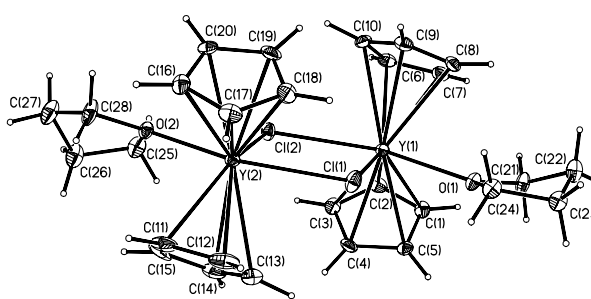


Рис. 1. Структура аддукта 5. Основные связи (Å) и углы (град):  
 $\text{Y}(1)-\text{Cl}(1) 2,661(1); \text{Y}(1)-\text{Cl}(2) 2,810(1); \text{Y}(1)-\text{O}(1) 2,478(2);$   
 $\text{Y}(1)-\text{Cp}(1) 2,382(2); \text{Y}(1)-\text{Cp}(2) 2,389(2); \text{Y}(2)-\text{Cl}(1) 2,793(1);$   
 $\text{Y}(2)-\text{O}(2) 2,452(2); \text{Y}(1)\text{-Y}(2) 4,418(1); \text{Cl}(1)-\text{Y}(1)-\text{Cl}(2)$   
 $72,71(2); \text{Cl}(1)-\text{Y}(1)-\text{O}(1) 75,97(6); \text{Cp}(1)-\text{Y}(1)-\text{Cp}(2) 127,5;$   
 $\text{Y}(1)-\text{Cl}(1)-\text{Y}(2) 108,19(3)$

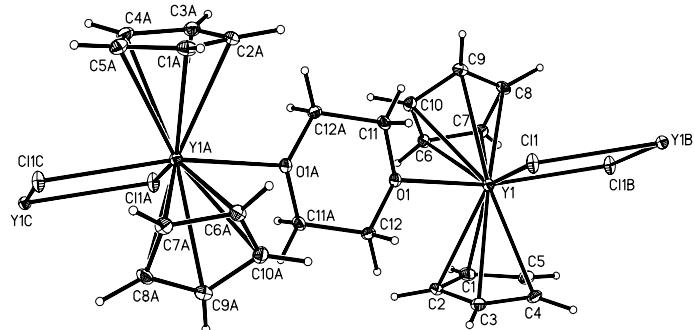


Рис. 2. Структура фрагмента полимерной цепи аддукта 6. Основные связи ( $\text{\AA}$ ) и углы (град): Y(1)-Cl(1) 2,693(1); Y(1)-Cl(1b) 2,789(1); Y(1)-O(1) 2,601(2); Y(1)-Cp(1) 2,368(2); Y(1)-Cp(2) 2,402(2); Y(1)-Y(1b) 4,376(1); Cl(1)-Y(1)-Cl(1b) 74,08(2); Cl(1)-Y(1)-O(1) 71,72(4); Cl(1b)-Y(1)-O(1) 145,21(4); Cp(1)-Y(1)-Cp(2) 126,6; Y(1)-Cl(1)-Y(1b) 106,00(2)

Продукт реакции 4 с ДМЭ (аддукт 7), в отличие от соединений 5 и 6, имеет необычное асимметричное строение (рис. 3). Здесь молекула ДМЭ координирована обоими атомами О к атому Y(1) ( $d(\text{O}-\text{Y}) = 2,382$ ;  $2,448 \text{ \AA}$ ), что приводит к разрыву одной из мостиковых связей  $\text{Y}(\mu\text{-Cl})_2\text{Y}$  с вытеснением атома Cl в концевое положение к атому Y(2).

Очевидно, что перераспределение связей в 7 обусловлено прочным хелатным связыванием ДМЭ-иттрий, которое для ДМЭ, в отличие от 1,4-диоксана, легко реализуется [6].

Следует отметить, что неэквивалентность атомов металла крайне редко встречается в димерных металлоценах и по этому признаку аддукт 7 сходен с

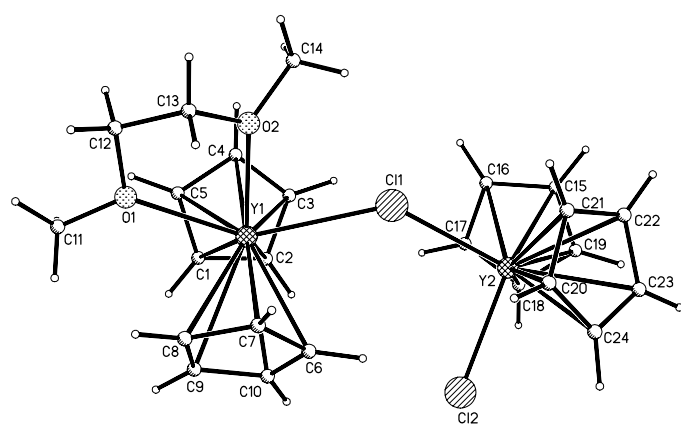
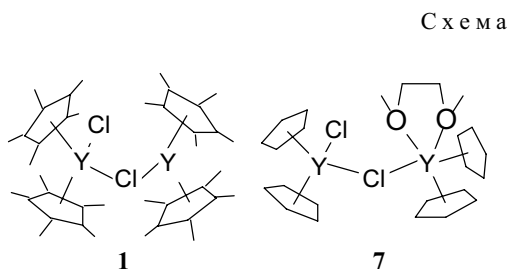


Рис. 3. Структура аддукта 7. Основные связи ( $\text{\AA}$ ) и углы (град): Y(1)-O(2) 2.382(3); Y(1)-O(1) 2.448(3); Y(1)-Cl(1) 2.785(1); Y(2)-Cl(1) 2.657(1); Y(2)-Cl(2) 2.575(1); Y(1)-Cp(1) 2.37; Y(1)-Cp(2) 2.38; Y(2)-Cp(1) 2.36; Y(2)-Cp(2) 2.36; Y(1)-Y(2) 5.038(1); O(2)-Y(1)-O(1) 65,77(1); Cl(2)-Y(2)-Cl(1) 98,10(3); Y(2)-Cl(1)-Y(1) 135,50(5); Cp(1)-Y(1)-Cp(2) 129,3; Cp(3)-Y(2)-Cp(4) 129,0



комплексом 1 [1, 7] (схема). Однако если в 1 оба атома Y координационно ненасыщены (к.ч. составляет 7 и 8) (лиганд  $\text{C}_5\text{Me}_5$ , как и  $\text{C}_5\text{H}_5$ , занимает три координационных места [1]), то в 7 один из металлов достигает координационного насыщения (к.ч. составляет 8 и 9). Вероятно, этим, а также большим стерическим напряжением в 1 ( $d(\text{Y}\cdots\text{Y})$  в 1 равно  $5,354 \text{ \AA}$ , а в 7 –  $5,038 \text{ \AA}$ ) можно объяснить наблюдаемое различие в активности 1 и 7 по отношению к О-лигандам. Так, комплекс 1, как уже упоминалось выше, легко диссоциирует при действии О-лигандов [1]. В отличие от этого, аддукт 7, образующийся в избытке ДМЭ, не претерпевает дальнейшего расщепления до двух моноядерных молекул  $\text{Cp}_2\text{Y}(\text{ДМЭ})\text{Cl}$ , чего можно было ожидать, принимая во внимание высокую прочность хелатных связей металл-ДМЭ.

### Экспериментальная часть

Все операции проводили в атмосфере аргона или в вакууме. Растворители очищали перегонкой бензофенонкетилем натрия,  $(\text{Cp}_2\text{YCl})_2$  получали по известной методике [8],  $^1\text{H}$ -ЯМР-спектры записывали на приборе "Bruker DPX300".

**Аддукт 5.**  $(\text{Cp}_2\text{YCl})_2$  (0,2 г) растворили в смеси толуола (22 мл) и ТГФ (3 мл) при  $20^\circ\text{C}$ , раствор упаривали до  $\sim 1/3$  начального объема и оставили на ночь при  $18^\circ\text{C}$ . Полученные бесцветные кристаллы (0,07 г) отделили, промыли толуолом (1 мл) и высушивали в вакууме. Найдено (%): Cl (10,30); Y (26,85).  $\text{C}_{28}\text{H}_{36}\text{Cl}_2\text{O}_2\text{Y}_2$ . Вычислено (%): Cl (10,85); Y (27,22).  $^1\text{H}$ -ЯМР, 300 MHz,  $(\text{C}_6\text{D}_6$ ,  $20^\circ\text{C}$ ,  $\delta$  (м.д.): 6.19 (с, 10H, Cp); 3.45 (ущ.с, 4H,  $\text{CH}_2\text{O}$ ); 1.27 (ущ.с, 4H,  $\text{C}_2\text{H}_4$ ). Один кристалл был отобран для рентгеноструктурного эксперимента.

**Аддукт 6.**  $(\text{Cp}_2\text{YCl})_2$  (0,27 г) растворили в теплой ( $45^\circ\text{C}$ ) смеси толуола (35 мл) и 1,4-диоксана (6 мл), раствору позволили медленно (в течение 24 ч) осесть на водяной бане до комнатной температуры. Полученные бесцветные кристаллы (0,11 г) отделили от маточного раствора, промыли толуолом (1 мл) и высушивали в вакууме. Найдено (%): Cl (11,31); Y (29,44).  $\text{C}_{24}\text{H}_{28}\text{Cl}_2\text{O}_2\text{Y}_2$ . Вычислено (%): Cl (11,89); Y

Условия эксперимента и кристаллографические характеристики аддуктов **5**, **6** и **7**

Аддукт	<b>5</b>	<b>6</b>	<b>7</b>
Брутто-формула	C <sub>28</sub> H <sub>36</sub> Cl <sub>2</sub> O <sub>2</sub> Y <sub>2</sub>	C <sub>24</sub> H <sub>28</sub> Cl <sub>2</sub> O <sub>2</sub> Y <sub>2</sub>	C <sub>24</sub> H <sub>30</sub> C <sub>12</sub> O <sub>2</sub> Y <sub>2</sub>
M	653,28	597,18	599,20
Размер кристалла/мм	0,30×0,40×0,55	0,20×0,30×0,40	0,25×0,30×0,35
Решетка	Моноклинная	Триклинная	Орторомбическая
Пространственная группа	P2(1)/c	P-1	P2(1)2(1)2(1)
a/Å	15,549(2)	8,175(1)	11,6501(15)
b/Å	21,263(2),	8,201(1)	13,6572(16)
c/Å	8,4090(9)	10,346(1)	15,455(2)
α/град	90	89,003(2)	90
β/град	102,651(2)	73,059(2)	90
γ/град	90	60,284(2)	90
V/Å <sup>3</sup>	2712,7(5)	569,49(10)	2459,0(5)
Z	4	1	4
D/г·см <sup>-3</sup>	1,600	1,741	1,619
Интервал Q/град	1,65–27,00	3,82–29,00	1,99–29,00
Число отражений (независимых)	5879 (2758)	20218 (5783)	21811 (6525)
Поглощение, μ, мм <sup>-1</sup>	5,323	4,478	4,931
R <sub>1</sub>	0,0720	0,0300	0,0827
wR <sub>2</sub> [I > 2s(I)]	0,0654	0,0540	0,0721

29,81. <sup>1</sup>H-ЯМР, 300 MHz, C<sub>6</sub>D<sub>6</sub>, 20°C, δ (м.д.): 6.19 (с, 20H, Cp); 3.36 (с, 8H, диоксан). Один кристалл был отобран для рентгеноструктурного эксперимента.

**Аддукт 7** получали аналогично аддукту **5**. Из (Cp<sub>2</sub>YCl)<sub>2</sub> (0,2 г) в смеси толуола (25 мл) и ДМЭ (2,5 мл) получено 0,06 г бесцветных кристаллов. Найдено (%): Cl, 11.54; Y, 29.50. C<sub>24</sub>H<sub>30</sub>Cl<sub>2</sub>O<sub>2</sub>Y<sub>2</sub>. Вычислено (%): Cl, 11.83; Y, 29.67. <sup>1</sup>H-ЯМР, 300 MHz, (C<sub>6</sub>D<sub>5</sub>CD<sub>3</sub>, 20°C, δ (м.д.): 6.11 (с, 20H, Cp); 3.24 (с, 4H, CH<sub>2</sub>); 3.06 (с, 6H, CH<sub>3</sub>). Один кристалл был отобран для рентгеноструктурного эксперимента.

Условия рентгеноструктурных исследований моно-кристаллов **5**, **6** и **7**, запаянных в капилляры, и крис-

таллографические параметры приведены в таблице. Наборы отражений получены на приборе “Bruker SMART” при 120 K, λ-Mo-K<sub>α</sub>-излучение. Поглощение учтено с помощью программы SADABS [9]. Структуры решены прямым методом, неводородные атомы локализованы в разностных синтезах и уточнены по F<sub>hkl</sub><sup>2</sup> в анизотропном приближении; атомы водорода помещены в геометрически рассчитанные позиции и учтены при уточнении в модели “наездника” с U(H) = nU(C), где U(C) – эквивалентный температурный фактор атома углерода, с которым связан соответствующий атом H, n = 1,2 и 1,5 для sp<sup>2</sup>- и sp<sup>3</sup>-атомов углерода. Все расчеты проведены по комплексу программ SHELXTL PLUS 5 [10].

Координаты атомов и полные структурные данные депонированы в Кембриджском банке структурных

данных: CCDC № 293793 для **5**, №. 244037 для **6** и № 293792 для **7**.

## СПИСОК ЛИТЕРАТУРЫ

1. Evans W.J., Fujimoto C. H., Johnston M.A., Ziller J.W. // Organometallics. 2002. **21**. P. 1825.
2. Zhongsheng J., Yongsheng L., Wen-Oi C. // Sci.Sin., Ser.B (Engl.Ed.). 1987. **30**. P. 1136.
3. Ji-Zhu J., Zhong-Sheng J., Wen-Oi C. // Jiegou Huaxue (J.Struct.Chem.). 1992. **11**. P. 204 (CA. 1993. **118**. 202466x).
4. Лобковский Э.Б., Соловейчик Г.Л., Булычев Б.М., Ерофеев А.Б. // Ж. структ. хим. 1984. **25**. С. 170.
5. Lauher J.M., Hoffman R. // J. Am. Chem. Soc. 1976. **98**. P. 1729.
6. Baisch U., Dell Amico D.B., Calderazzo F. et al. // Inorg. Chim. Acta. 2004. **357**. P. 1538.
7. Evans W.J., Rausch M.D., Hunter W.E. et al. // Organometallics. 1985. **4**. P. 553.
8. Holton J., Lappert M.F., Ballard D.G.H. et al. // J. Chem. Soc. Dalton Trans. 1979. N 1. P. 45.
9. Sheldrick G.M. // SADABS. 1998. **2.01**. Bruker/Siemens Area Detector Absorption Correction Program, Bruker AXS, Madison, Wisconsin, USA.
10. Sheldrick G.M. // SHELLXTL. 1998. **5.10**. Structure Determination Software Suite, Bruker AXS, Madison, Wisconsin, USA.

Поступила в редакцию 06.02.06

## CRYSTAL AND MOLECULAR STRUCTURES OF THE ADDUCTS

### $(Cp_2YCl)_2 \cdot L$ (L = 2THF, DME, 1,4-DIOXANE)

A.I. Sizov, T.M. Zvukova, Z.A. Starikova, B.M. Bulychev

(Division of Chemical Technology and New Materials)

The yttrium(III) adducts,  $(Cp_2YCl)_2 \cdot C_4H_8O$  (**5**),  $[(Cp_2YCl)_2 \cdot C_4H_8O_2]_n$  (**6**) and  $Cp_2Y(C_4H_{10}O_2)(\mu-Cl)(Cl)YCp_2$  (**7**) were prepared by reactions of  $(Cp_2YCl)_2$  with corresponding O-bases and were characterized by X-ray crystallography. The complex **5** consists of  $(Cp_2YCl)_2$  dimers bonded with two THF molecules ( $d_{Y-O} = 2.478 \text{ \AA}$ ). In adduct **6** the  $(Cp_2YCl)_2$  dimers are linked by 1,4-dioxane into a polymeric chain with long ( $d_{Y-O} = 2.601 \text{ \AA}$ ) bonds. In the asymmetric adduct **7** the DME molecule is bonded with one Y atom by both oxygen atoms ( $d_{Y-O} = 2.382, 2.448 \text{ \AA}$ ) and the single bridge Y-Cl-Y bond is only presented.